

### 3.12 Sardegna, tratto: C.po del Falcone – C.po Altano



Fig 3.12.1 Rappresentazione della tabella a doppia entrata  $H_{m0}-\alpha$  Tab 1.1 - onde basse - tratto costiero da C.po del Falcone a C.po Altano- dati triorari, periodo: intero



Fig 3.12.2 Rappresentazione della tabella a doppia entrata  $H_{m0}-\alpha$  Tab 1.1 - onde medie - tratto costiero da C.po del Falcone a C.po Altano- dati triorari, periodo: intero



Fig 3.12.3 Rappresentazione della tabella a doppia entrata  $H_{m0}-\alpha$  Tab 1.1 - onde alte - tratto costiero da C.po del Falcone a C.po Altano- dati triorari, periodo: intero

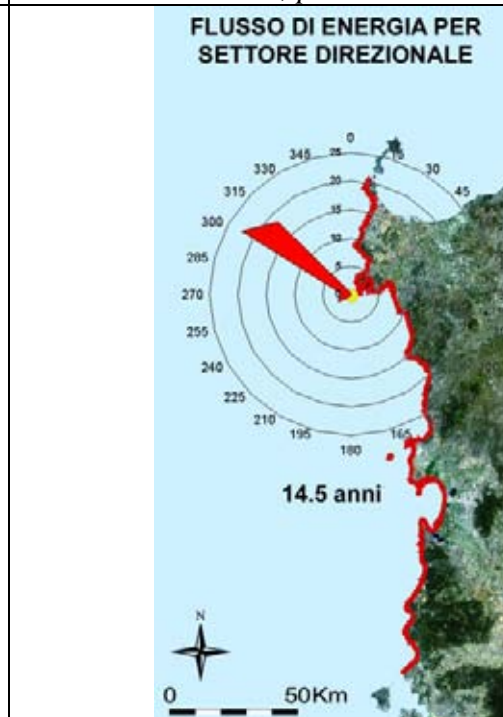


Fig 3.12.4 Media annuale del flusso lordo di energia in Kw/m per settori direzionali di  $15^\circ$  - tratto costiero da C.po del Falcone a C.po Altano- dati triorari, periodo: intero

# Inverno



Fig 3.12.5 Rappresentazione della tabella a doppia entrata  $H_{m0}-\alpha$  Tab 1.2 - onde basse - tratto costiero da C.po del Falcone a C.po Altano- dati triorari, periodo: inverno

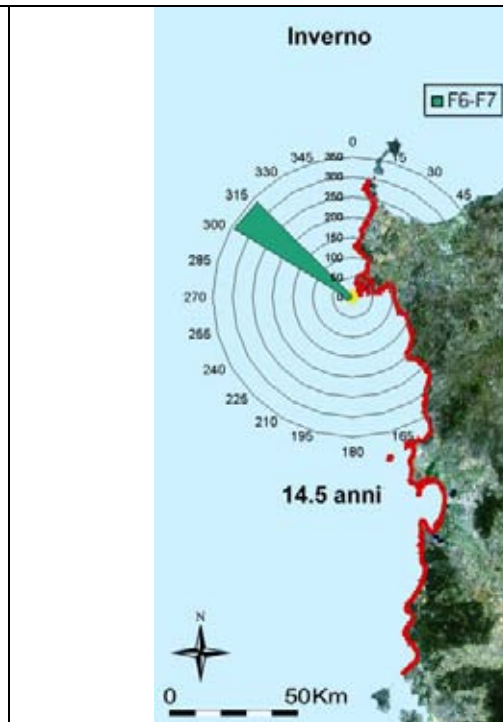


Fig 3.12.6 Rappresentazione della tabella a doppia entrata  $H_{m0}-\alpha$  Tab 1.2 - onde medie - tratto costiero da C.po del Falcone a C.po Altano- dati triorari, periodo: inverno



Fig 3.12.7 Rappresentazione della tabella a doppia entrata  $H_{m0}-\alpha$  Tab 1.2 - onde alte - tratto costiero da C.po del Falcone a C.po Altano- dati triorari, periodo: inverno

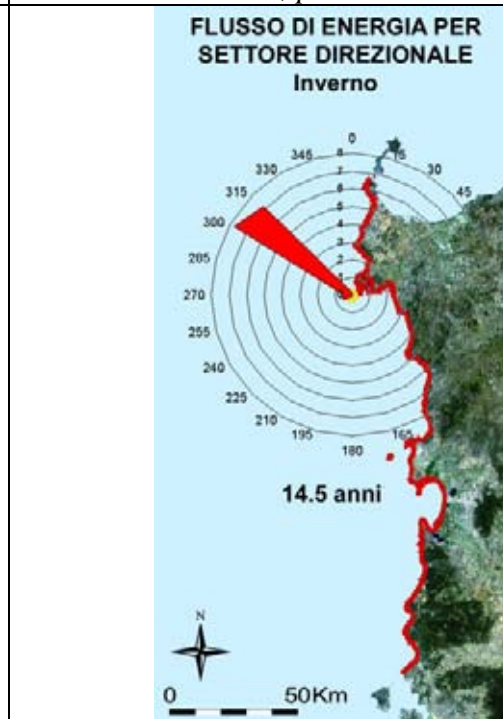


Fig 3.12.8 Media annuale del flusso lordo di energia in Kw/m per settori direzionali di  $15^\circ$  - tratto costiero da C.po del Falcone a C.po Altano- dati triorari, periodo: inverno

## Primavera



Fig 3.12.9 Rappresentazione della tabella a doppia entrata  $H_{m0}-\alpha$  Tab 1.3 - onde basse - tratto costiero da C.po del Falcone a C.po Altano- dati triorari, periodo: primavera

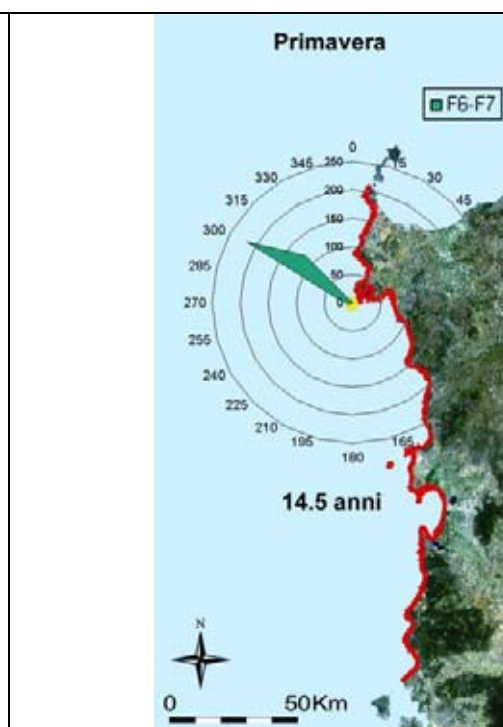


Fig 3.12.10 Rappresentazione della tabella a doppia entrata  $H_{m0}-\alpha$  Tab 1.3 - onde medie - tratto costiero da C.po del Falcone a C.po Altano- dati triorari, periodo: primavera

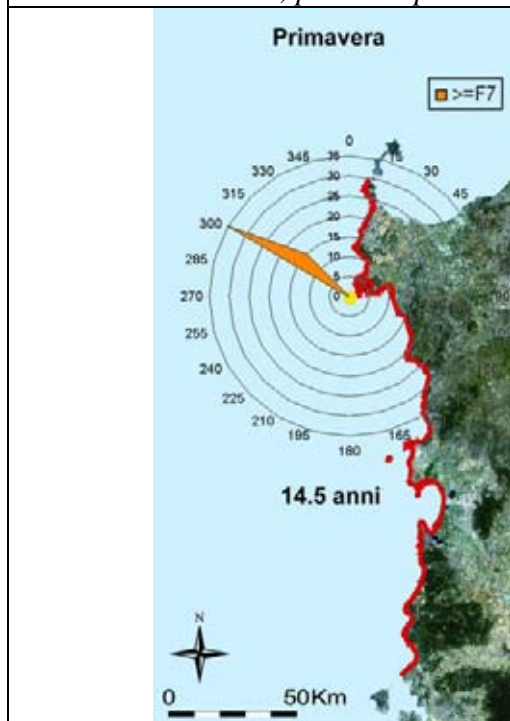


Fig 3.12.11 Rappresentazione della tabella a doppia entrata  $H_{m0}-\alpha$  Tab 1.3 - onde alte - tratto costiero da C.po del Falcone a C.po Altano- dati triorari, periodo: primavera



Fig 3.12.12 Media annuale del flusso lordo di energia in Kw/m per settori direzionali di  $15^\circ$  - tratto costiero da C.po del Falcone a C.po Altano- dati triorari, periodo: primavera

## Estate



Fig 3.12.13 Rappresentazione della tabella a doppia entrata  $H_{m0}-\alpha$  Tab 1.4 - onde basse - tratto costiero da C.po del Falcone a C.po Altano- dati triorari, periodo: estate



Fig 3.12.14 Rappresentazione della tabella a doppia entrata  $H_{m0}-\alpha$  Tab 1.4 - onde medie - tratto costiero da C.po del Falcone a C.po Altano- dati triorari, periodo: estate

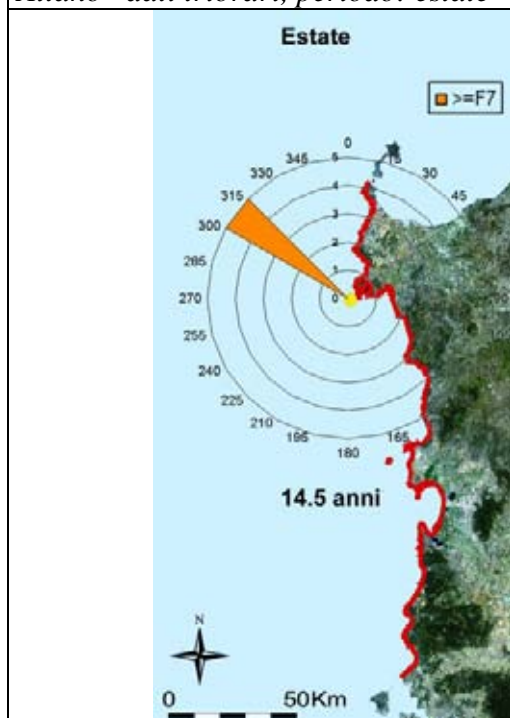


Fig 3.12.15 Rappresentazione della tabella a doppia entrata  $H_{m0}-\alpha$  Tab 1.4 - onde alte - tratto costiero da C.po del Falcone a C.po Altano- dati triorari, periodo: estate

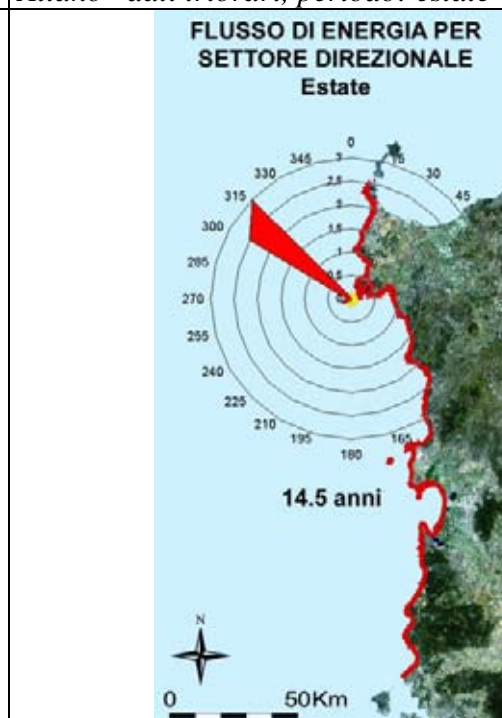


Fig 3.12.16 Media annuale del flusso lordo di energia in Kw/m per settori direzionali di  $15^\circ$  - tratto costiero da C.po del Falcone a C.po Altano- dati triorari, periodo: estate

# Autunno

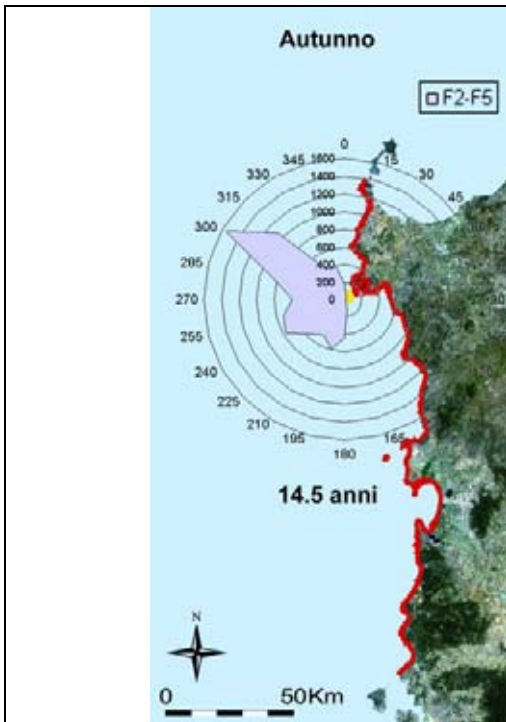


Fig 3.12.17 Rappresentazione della tabella a doppia entrata  $H_{m0}-\alpha$  Tab 1.5 - onde basse - tratto costiero da C.po del Falcone a C.po Altano- dati triorari, periodo: autunno

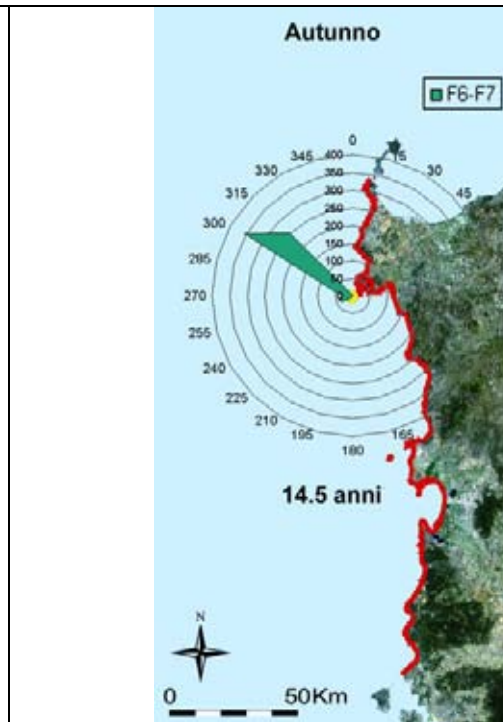


Fig 3.12.18 Rappresentazione della tabella a doppia entrata  $H_{m0}-\alpha$  Tab 1.5 - onde medie - tratto costiero da C.po del Falcone a C.po Altano- dati triorari, periodo: autunno

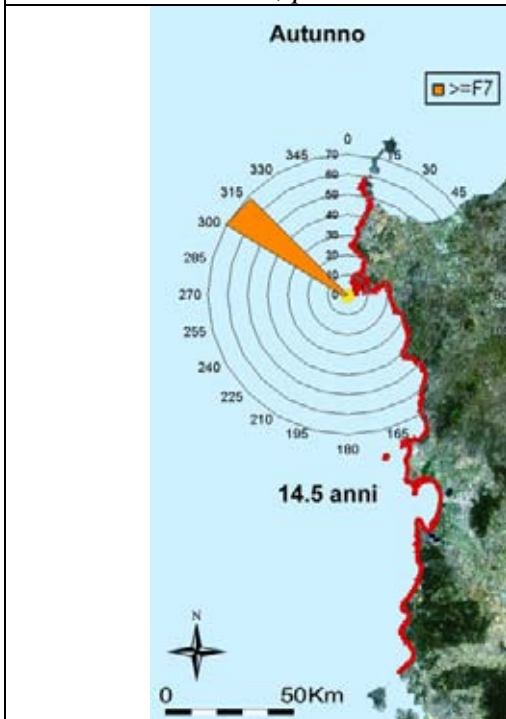


Fig 3.12.19 Rappresentazione della tabella a doppia entrata  $H_{m0}-\alpha$  Tab 1.5 - onde alte - tratto costiero da C.po del Falcone a C.po Altano- dati triorari, periodo: autunno

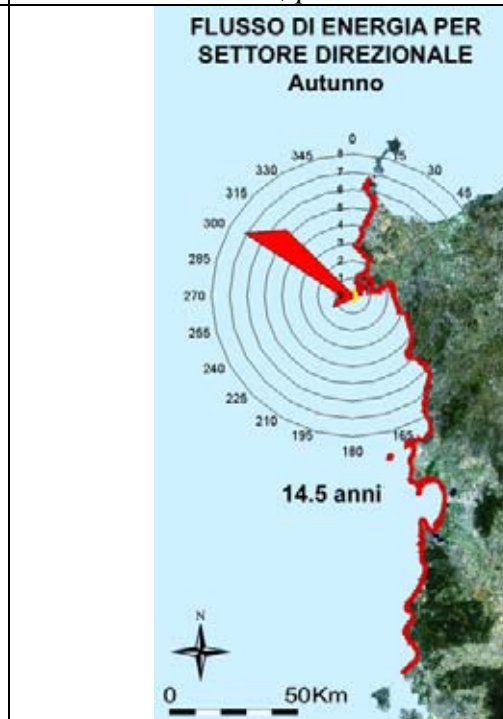


Fig 3.12.20 Media annuale del flusso lordo di energia in Kw/m per settori direzionali di  $15^\circ$  - tratto costiero da C.po del Falcone a C.po Altano- dati triorari, periodo: autunno

## Settore costiero C12

Il settore costiero C12 relativo al versante occidentale della Sardegna dispone di 14.5 anni di dati.

La direzione caratteristica di provenienza degli eventi ondosi è 300°N in un intervallo compreso tra 295°N e 330°N (Tabb.1.1 - 1.5).

Per le onde basse sono presenti altre due direzioni di provenienza, Sud, 190°N, e Sud-Ovest, 225°N.

Le onde medie e alte (Figg.3.12.2 e 3.12.3) si concentrano intorno alla direzione caratteristica 300°N, senza mostrare variazioni stagionali.

Il 75% delle mareggiate proviene da 300°N, il massimo osservato di  $H_{m0}$  è di circa 10 m. Solo nel 5% dei casi le mareggiate vengono da Sud-Ovest, tuttavia i massimi osservati di  $H_{m0}$  in questa direzione hanno raggiunto i 5.5 m.

### 3.13 Sardegna, tratto: C.po Carbonara – C.po Ferro

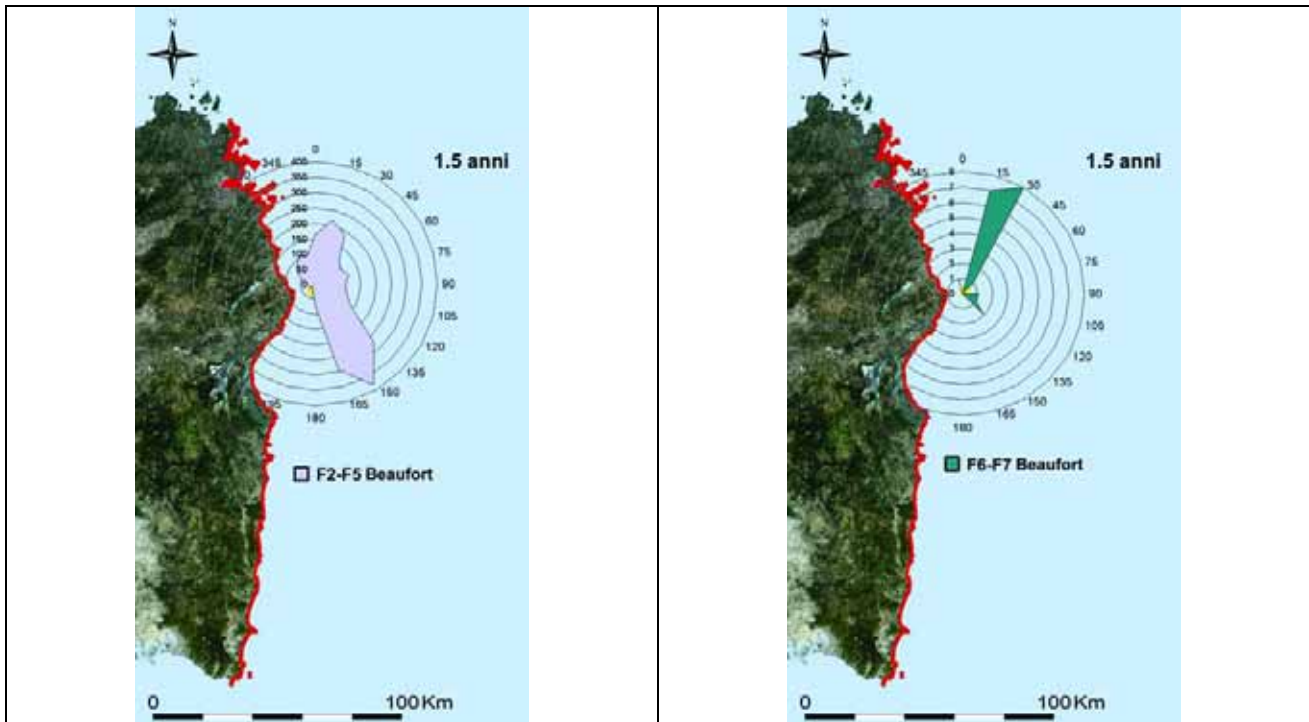


Fig 3.13.1 Rappresentazione della tabella a doppia entrata  $H_{m0}-\alpha$  Tab 1.16 - onde basse - tratto costiero da C.po Carbonara a C.po Ferro – dati semiorari, periodo: intero

Fig 3.13.2 Rappresentazione della tabella a doppia entrata  $H_{m0}-\alpha$  Tab 1.16 - onde medie - tratto costiero da C.po Carbonara a C.po Ferro – dati semiorari, periodo: intero

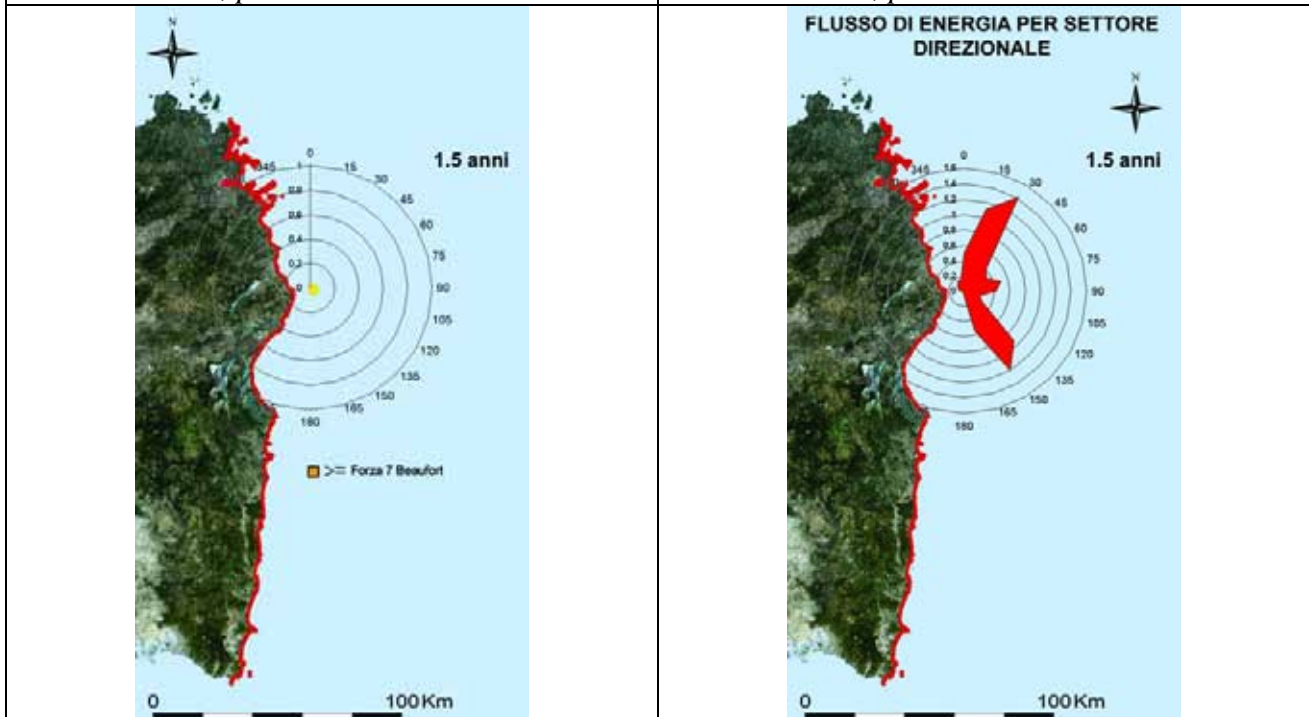


Fig 3.13.3 Rappresentazione della tabella a doppia entrata  $H_{m0}-\alpha$  Tab 1.16 - onde alte - tratto costiero da C.po Carbonara a C.po Ferro – dati semiorari, periodo: intero

Fig 3.13.4 Media annuale del flusso lordo di energia in Kw/m per settori direzionali di 15° - tratto costiero da C.po Carbonara a C.po Ferro – dati triorari, periodo: intero

## Inverno

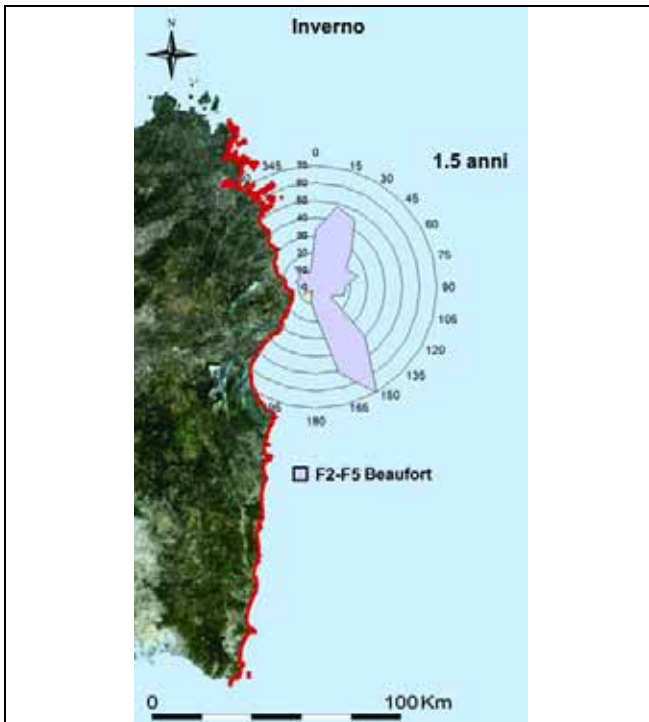


Fig 3.13.5 Rappresentazione della tabella a doppia entrata  $H_{m0}-\alpha$  Tab 1.17 - onde basse - tratto costiero da C.po Carbonara a C.po Ferro – dati semiorari, periodo: inverno

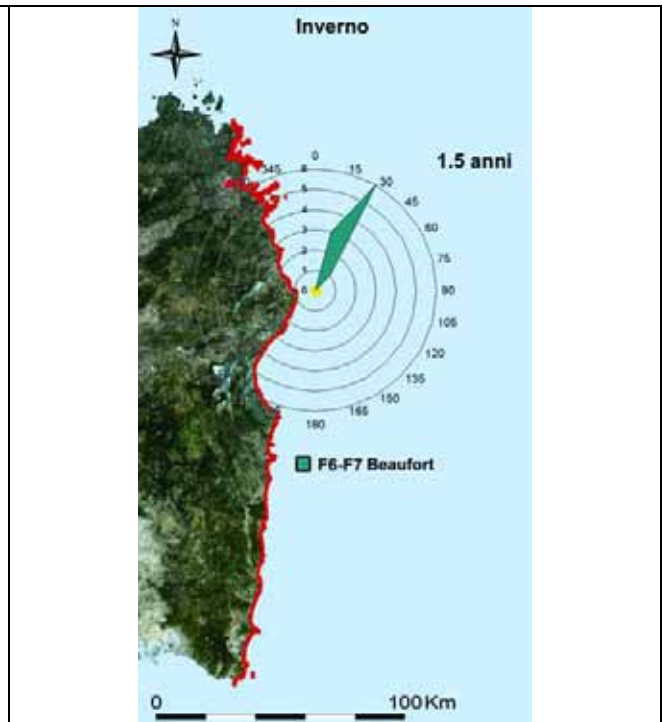


Fig 3.13.6 Rappresentazione della tabella a doppia entrata  $H_{m0}-\alpha$  Tab 1.17 - onde medie - tratto costiero da C.po Carbonara a C.po Ferro – dati semiorari, periodo: inverno

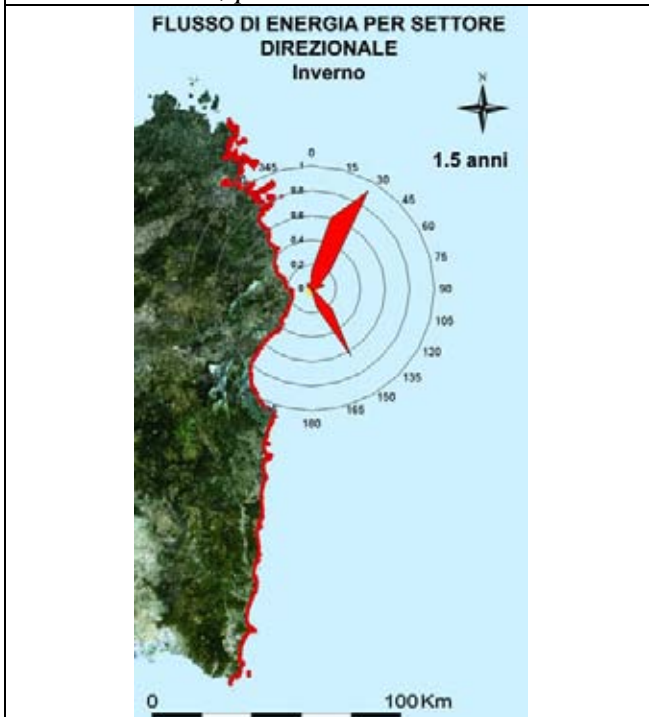


Fig 3.13.7 Media annuale del flusso lordo di energia in Kw/m per settori direzionali di  $15^\circ$  - tratto costiero da C.po Carbonara a C.po Ferro– dati triorari, periodo: inverno

## Primavera

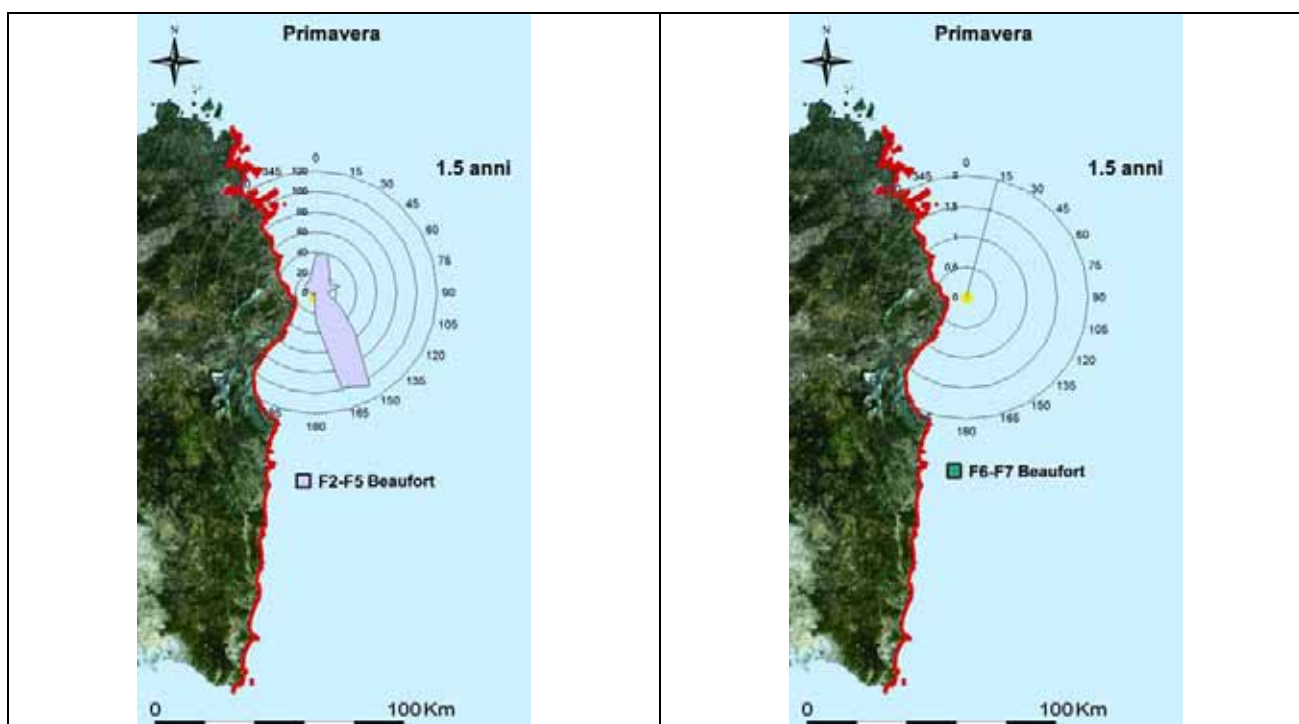


Fig 3.13.8 Rappresentazione della tabella a doppia entrata  $H_{m0}-\alpha$  Tab 1.18 - onde basse - tratto costiero da C.po Carbonara a C.po Ferro – dati semiorari, periodo: primavera

Fig 3.13.9 Rappresentazione della tabella a doppia entrata  $H_{m0}-\alpha$  Tab 1.18 - onde medie - tratto costiero da C.po Carbonara a C.po Ferro – dati semiorari, periodo: primavera

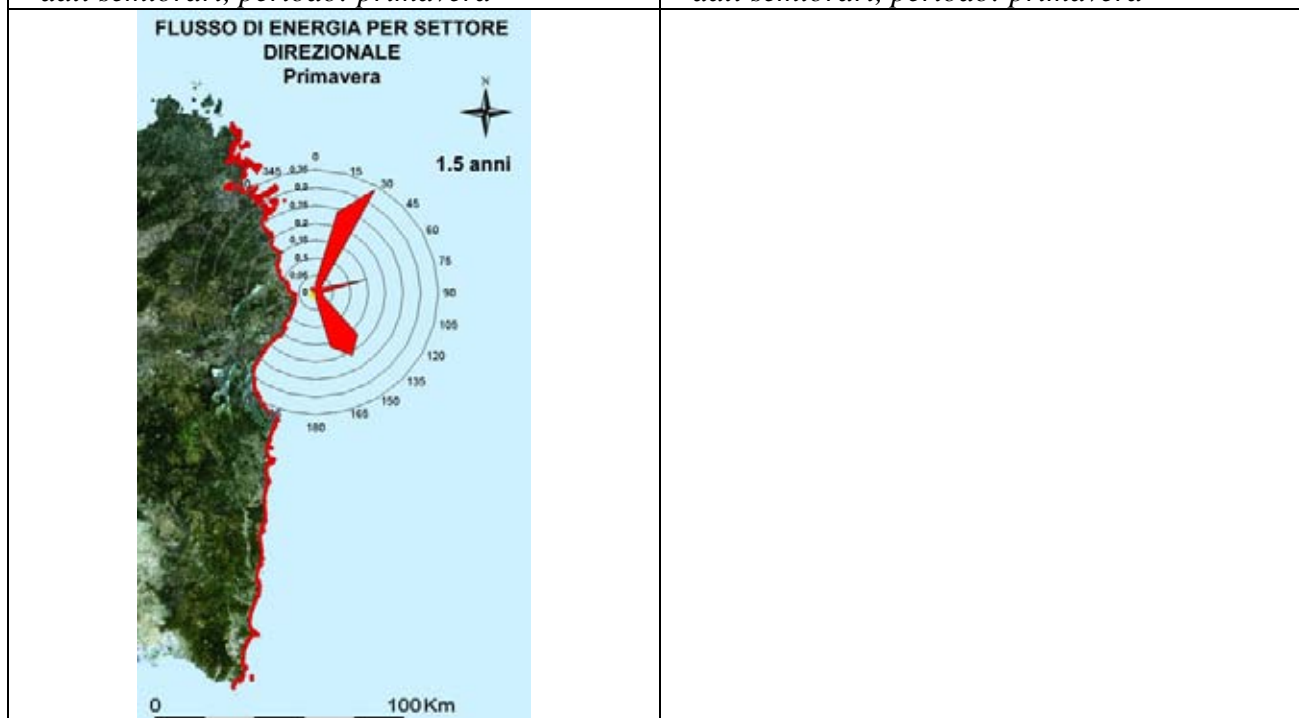


Fig 3.13.10 Media annuale del flusso lordo di energia in Kw/m per settori direzionali di 15° - tratto costiero da C.po Carbonara a C.po Ferro– dati triorari, periodo: primavera

## Estate

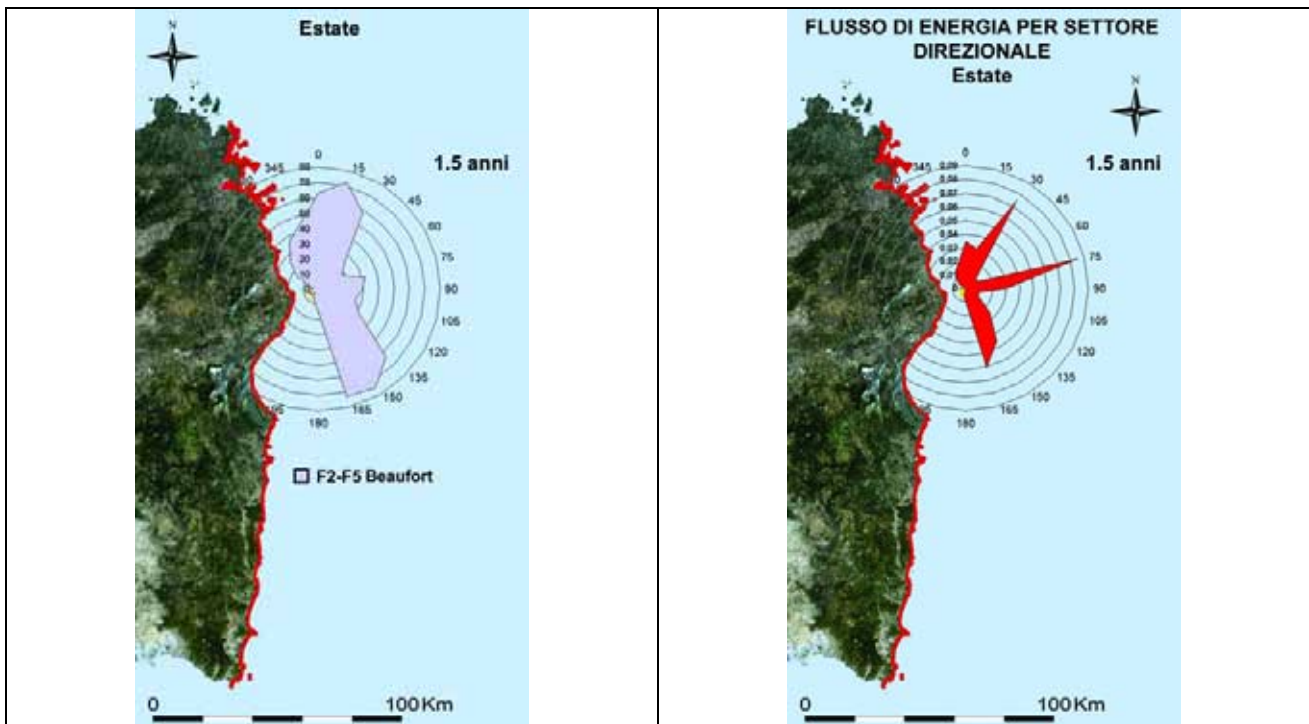


Fig 3.13.11 Rappresentazione della tabella a doppia entrata  $H_{m0}-\alpha$  Tab 1.19 - onde basse - tratto costiero da C.po Carbonara a C.po Ferro – dati semiorari, periodo: estate

Fig 3.13.12 Media annuale del flusso lordo di energia in Kw/m per settori direzionali di  $15^\circ$  - tratto costiero da C.po Carbonara a C.po Ferro– dati triorari, periodo: estate

## Autunno

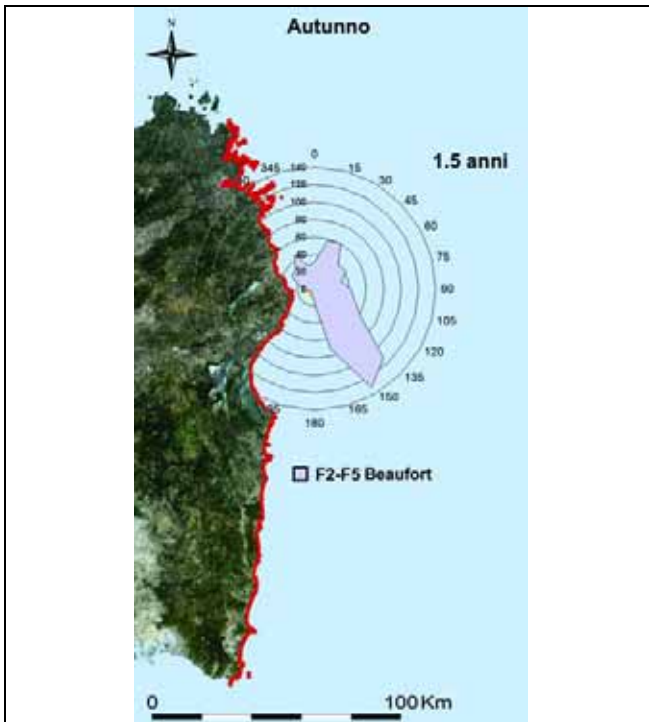


Fig 3.13.13 Rappresentazione della tabella a doppia entrata  $H_{m0}-\alpha$  Tab 1.20 - onde basse - tratto costiero da C.po Carbonara a C.po Ferro – dati semiorari, periodo: autunno

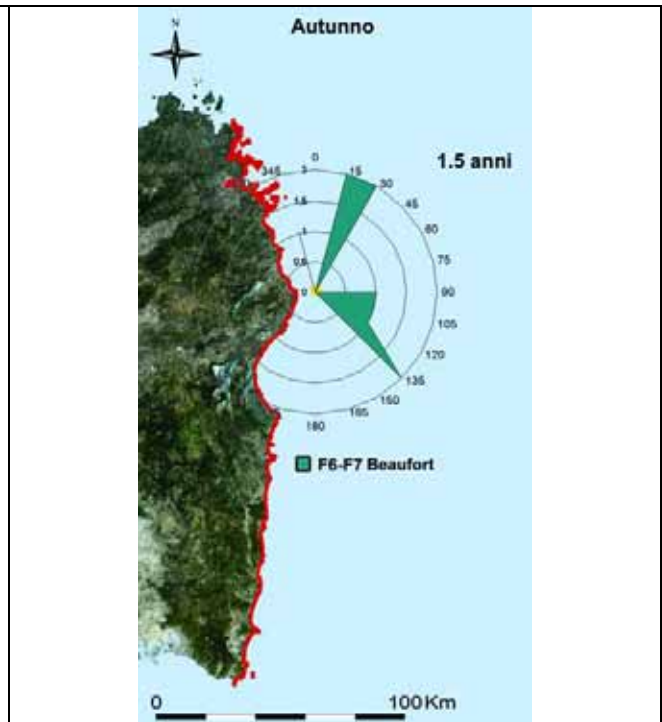


Fig 3.13.14 Rappresentazione della tabella a doppia entrata  $H_{m0}-\alpha$  Tab 1.20 - onde medie - tratto costiero da C.po Carbonara a C.po Ferro – dati semiorari, periodo: autunno

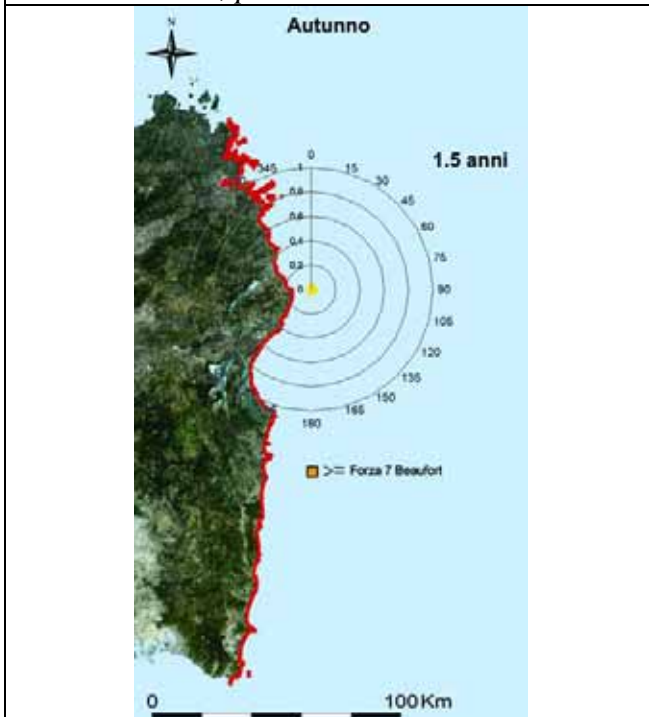


Fig 3.13.15 Rappresentazione della tabella a doppia entrata  $H_{m0}-\alpha$  Tab 1.20 - onde alte - tratto costiero da C.po Carbonara a C.po Ferro – dati semiorari, periodo: autunno

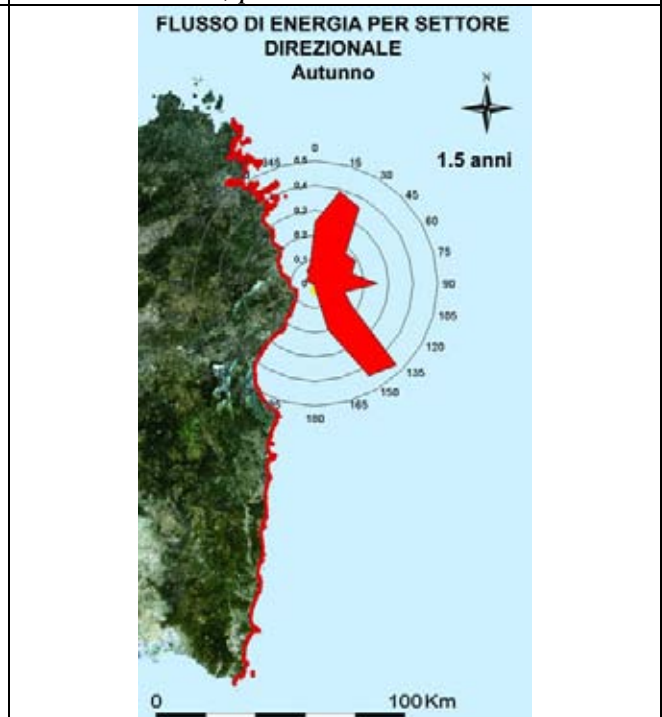


Fig 3.13.16 Media annuale del flusso lordo di energia in Kw/m per settori direzionali di  $15^\circ$  - tratto costiero da C.po Carbonara a C.po Ferro – dati triorari, periodo: autunno

## **Settore costiero C13**

Il settore costiero C13 relativo al versante orientale della Sardegna, va da Capo Ferro a Capo Carbonara. Essendo la disponibilità di dati limitata a solo 1.5 anni, l'analisi statistica del clima ondoso è poco significativa.

Possono essere probabilmente individuate due direzioni caratteristiche (Tab.1.11): una da Nord-Est e l'altra da Sud-Est.